# IV. Die Mammutreste

Von Karl Dietrich ADAM, Stuttgart Mit 1 Tabelle und Tafeln I—IV

## I. Einleitung

In der von O. SICKENBERG (1933 S. [33]—[34] Tab.) gegebenen ersten kritischen Übersicht der Fauna aus der Fuchsen- oder Teufelslucken unweit Roggendorf wird das Mammut — wie zu erwarten der einzige Vertreter der Proboscidea — zwar den reicher belegten Perissodactyla, dem Fellnashorn und dem Wildpferd, in der Fundanzahl nachgeordnet, immerhin aber zusammen mit etlichen pleistozänen Artiodactyla wie Edelhirsch, Riesenhirsch und Wildrind als häufig eingestuft. So rechtfertigt allein schon der bedeutsame Anteil der Mammutfunde an der Grabungsausbeute deren gesonderte Bearbeitung, eine Aufgabe, die mir von Herrn Professor Dr. K. EHRENBERG vor Jahren übertragen wurde.

Das nachstehend beschriebene und ausgewertete Material konnte Ende Mai und Anfang Juni 1957 am Krahuletz-Museum zu Eggenburg gesichtet und bearbeitet werden. Für dortige gastliche Aufnahme und freundliche Hilfe bin ich Herrn Direktor F. SCHÄFFER besonders verpflichtet; ihm danke ich einen Besuch im nachbarlichen Höbarth-Museum zu Horn und die kundige Führung zur Teufelslucken am Hang des Königsberges. Auch durfte ich anläßlich dieser vorsommerlichen Fahrt nach Niederösterreich von meinen Wiener Kollegen — Herrn Professor Dr. H. ZAPFE und Herrn Professor Dr. F. BACHMAYER am Naturhistorischen Museum und Herrn Professor Dr. E. THENIUS am Paläontologischen Institut der Universität — mancherlei Anregung und Förderung empfangen. Der späte Dank hierfür ist ebenso herzlich wie jener, den ich Herrn Professor Dr. K. EHRENBERG als dem Betreuer der wissenschaftlichen Erforschung der Teufelslucken schulde.

## II. Fundbeschreibung

## 1. Knochenfragmente

Vom Skelett sind nur einzelne, meist stark beschädigte Knochen des Rumpfes und der Gliedmaßen überliefert, ein Fundgut, das, verglichen mit den Gebißresten, überaus dürftig erscheint.

<b>235</b> 9	(Eggenburg)	Atlas (Kopfträger)	
erhaltene l	Höhe in der Mittellin	ie	180 mm
Höhe des	unteren Wirbelbogen	s	63 mm
Höhe des	Wirbellochs vorne		99 mm
Breite des	83 mm		
Abstand der äußeren Wirbellochränder hinten			etwa 105 mm
Abstand der äußeren Gelenkflächenränder vorne			etwa 230 mm
Abstand d	ler äußeren Gelenkflä	chenränder hinten	etwa 195 mm
393	(Eggenburg)	Vertebra cervicalis (Halswirbel)	

erhaltene Breite über dem Wirbelkörper	159 mm
Tiefe über dem Wirbelloch	32 mm

Tiefe über dem Wirbelloch

46 (a. Nr., s. S. 53) (Eggenburg) Vertebra thoracica (Brustwirbel)	
erhaltene Höhe über dem Wirbelkörper	313 mm
erhaltene Höhe über dem Wirbelloch	244 mm
Breite über dem Wirhelloch	105 mm

53 mm

Am Atlas fehlen, von kleineren Beschädigungen abgesehen, die lateralen Flügel und die obere Begrenzung des dorsalen Bogens. Trotz dieser meist alten, teilweise durch Verbiß entstandenen Verluste läßt sich gute metrische Übereinstimmung mit dem Kopfträger erwachsener, jungpleistozäner Mammute — verwiesen sei auf etliche sächsische Funde (J. FELIX 1912 S. 23—24; W. RÜHL 1939 S. 67 Tab. 15) — feststellen.

Vom Hals- und gleichermaßen vom Brustwirbel sind allein Teile des Wirbelbogens und des Dornfortsatzes überliefert. Diese waren bereits vor ihrer Einbettung vom Wirbelkörper getrennt, wie Bißspuren an den Bruchflächen erweisen.

2351	(Eggenburg)	Humerus dex. (Oberarmbein)	
erhaltene Län	ge des Mittelstücks		410 mm
kleinste Breit	e des Mittelstücks		105 mm
2353	(Eggenburg)	Tibia sin. (Schienbein)	
größte Länge	der Diaphyse		364 mm
kleinste Breit	e der Diaphyse		64 mm

Das kräftig profilierte, eröffnete und benagte Mittelstück eines Oberarmbeins wird beidseitig durch alte Bruchränder begrenzt. Proximal erreicht die Compacta erhebliche Dicke und umgibt dort die tief ausgehöhlte Spongiosa des seiner Gelenkenden beraubten Knochens.

Die Diaphyse des Schienbeins zeigt dagegen — obwohl einem Jungtier zugehörend — weder einstige Biß- noch Schlagspuren; die geringe Beschädigung der proximalen und distalen Endflächen ist frisch, die Epiphysen fehlen.

1650	(Eggenburg)	Os carpi ulnare dex. (Dreieckbein)		
größte Lä	inge nahe der Innenseite		112 mm	
größte Lä	inge der Innenwand		108 mm	
größte D	icke nahe der Vorderseite		60 mm	
Höhe der	Vorderwand im Mitteltei	1	55 mm	
Höhe der	Vorderwand am Innenec	k	45 mm	
Längsdur	chmesser der Gelenkfläch	e für die Ulna	80 mm	
Längsdur	chmesser der Gelenkfläch	e für das Hamatum	92 mm	
größter I	Ourchmesser der Gelenkflä	iche für das Lunatum	64 mm	
kleinster	Durchmesser der Gelenkf	läche für das Lunatum	17 mm	
47 (a. ]	Nr., s. S. 53) (Eggenburg)	Os tarsi tibiale dex. (Rollbein)		
größte Lä	inge über der Gelenkfläch	e für das Naviculare	122 mm	
_	icke über den Gelenkfläch		75 mm	
Längsdur	chmesser der Gelenkfläch	e für die Tibia	102 mm	
Querdurc	108 mm			
größter I	95 mm			
größter Durchmesser der inneren Gelenkfläche für den Calcaneus			85 mm	
kleinster	kleinster Durchmesser der inneren Gelenkfläche für den Calcaneus			
größter I	1 <b>14</b> mm			
kleinster	60 mm			

Dem Triquetrum ermangelt der schräg nach hinten gerichtete Fortsatz, und auch die Gelenkfläche für das Pisiforme ist dem alten, kräftige Bißspuren zeigenden Abbruch weitgehend zum Opfer gefallen. Ansonsten ist dieses Dreieckbein vorzüglich überliefert. Hingewiesen sei nur auf die langgestreckte distale Gelenkfläche für das Lunatum — die unbedeutende proximale ist von jener für die Ulna nur unvollkommen abgegrenzt — und ferner auf die angedeutete Kante am Übergang der Innenwand zur Vorderwand.

Der Talus ist, abgesehen von geringen, meist frischen Beschädigungen an der Außenseite, gut erhalten. Die beiden, durch eine tiefe, dreieckige Grube gegeneinander abgesetzten Gelenkflächen für den Calcaneus sind leicht gewellt; deren innere stößt unmittelbar an jene für das Naviculare, die äußere grenzt an die Gelenkrolle für die Tibia, welche sich mäßig emporwölbt. Dennoch erscheint das Rollbein im Verhältnis zu seiner Länge ausnehmend flach und nieder.

Beide Knochen sind — verglichen mit jenen der Mammutskelette von Steinheim, Pfännerhall und Borna (W. O. DIETRICH 1912 S. 91, 101—102; J. FELIX 1912 S. 38, 46—47; V. TOEPFER 1957 S. 30, 36) — von geringer Größe und deshalb diminutiven oder aber juvenilen Tieren zuzuschreiben.

## 2. Stoßzahnfragmente

Die wenigen Defensenstücke zeigen übereinstimmende Erhaltung; wahrscheinlich stammen die Überreste von nur zwei Stoßzähnen.

220	(Eggenburg)	etwa $40 \times 50$ mm
1168	(Eggenburg)	etwa $75 \times 125$ mm
		errechneter Durchmesser etwa 100-110 mm

Außenschalenstücke mit feiner Längsriefung auf der Innenseite sowie überwiegend alten Bruchrändern und alten Lösungsflächen.

```
o. Nr. (Eggenburg) etwa 50 \times 95 mm
```

Innenschalenstück mit feiner Längsriefung auf der Außenseite sowie überwiegend neuen Bruchrändern und alten Lösungsflächen.

# 3. Backenzahnfragmente

Die wenigen Einzellamellen zeigen unterschiedliche Erhaltung; meist weisen sie noch keine oder nur geringe Zementanlagerung auf. Die entweder nicht oder kaum angekauten Schmelzbüchsen sind überwiegend bereits vor ihrer Einbettung vereinzelt und beschädigt worden.

o. Nr.	(Eggenburg)	m2	Lamellenbreite (maximal) 21,0 mm
o. Nr.	(Eggenburg)		Lamellenbreite (maximal) 35,5 mm
496	(Eggenburg)	m3	Lamellenbreite (maximal) 39,5 mm
o. Nr.	(Horn)	m3	Lamellenbreite (maximal) 45,0 mm
1151	(Eggenburg)	m	•
1214	(Eggenburg)	m	
1528	(Eggenburg)	m	
2406	(Eggenburg)	m	
968	(Eggenburg)	M	
1370	(Eggenburg)	M	
o. Nr.	(Eggenburg)	M	

#### 4. Backenzahngebiß

Die vorgenannten, meist der Milchdentition zugehörenden Lamellen lassen keine weitere Beurteilung oder Auswertung zu; sie sind deshalb weder in die Übersicht des Backenzahngebisses aufgenommen, noch zur Berechnung der Individuenzahlen herangezogen worden.

Lebensalter der Tiere	Wuchsform klein	Wuchsform groß	Anzahl der Tiere
m1	1750 mand. sin. ) 1427 max. dex. }	999 max. dex.	2
m2	664 max. dex. ) o. Nr. max. sin.   669 max. dex.		3
		o. Nr. mand. sin.	
m3	2044 Fragment 56 Fragment	49 Fragment o. Nr. Fragment 2563 max. dex. ) 861 max. sin.	6
	o. Nr. max. dex.		
M1 oder	o. Nr	. max. sin.	2
M2	48		
M3	1000 max. dex.		1

Die tabellarische Aufstellung verzeichnet 17 Backenzahnfunde, von denen 14 dem Milchgebiß und 3 dem Dauergebiß angehören. Unter den ersteren können vier ihrer sehr bruchstückhaften Überlieferung wegen nur bedingt beurteilt werden, doch ist deren Ansprache als letzte Milchbackenzähne ebenso gesichert wie deren Bewerten als Individuennachweise.

Nachfolgend werden die Materialien, geordnet nach Lebensalter und Wuchsform ihres einstigen Trägers, in übersichtlich gegliederten Einzelbeschreibungen bekanntgegeben. Die hierin mitgeteilten metrischen und morphologischen Daten — über das Beschreiben und Vermessen der Backenzähne wurde andernorts berichtet (K. D. ADAM 1948 S. 59—64) — dürften hinreichen, die Aussagen, Folgerungen und Ergebnisse der vorgelegten Bearbeitung des Mammuts aus der Teufelslucken überprüfbar werden zu lassen.

1750 (Eggenburg)	m1 mand. sin.
Lamellenformel	<b>x3</b> (x)
Kronenlänge (maximal)	13,5
Kronenbreite (maximal)	11,5
Zahnhöhe (proximal)	22,7
Zahnhöhe (zentral)	18,6
Wurzelspanne (maximal)	15,3
Ankauung	I—III
Anlösung	Vorderwand von x (distal)
9	Hinterwand von (x) (proximal)
	Seitenwände von x—(x)
Wurzelbildung	Vorderwurzel mit x—I
S	Hinterwurzel mit II—(x)
	Wurzel 18,6 unter der Kauflächenmitte in zwei stark divergierende Zapfen geteilt

Erhaltungszustand

gut Bemerkungen beginnende Ankauung angedeutetes Druckpolster

starke Schmelzanlösung geringe Zementanlagerung

Erhaltung entsprechend m1 max. dex. 1427 und ähnlich m2 max. dex. 669

Ankauung wesentlich geringer als bei m1 max. dex. 1427 Zugehörigkeit zu m1 max. dex. 1427 dennoch wahrscheinlich

Abbildungen

Akralfläche (Taf. I, Fig. 1) Labialseite (Taf. I, Fig. 2) Lingualseite (Taf. I, Fig. 3)

1427 (Eggenburg) m1 max. dex.

Lamellenformel x3x13,0 Kronenlänge (maximal) Kronenbreite (maximal) 12,5 Kauflächenlänge (maximal) 13,8 Zahnhöhe (proximal) 24,7 Zahnhöhe (zentral) 14,0 Wurzelspanne (maximal) 15,0 Ankauung

Anlösung Vorderwand von x (distal) Hinterwand von x (proximal)

Seitenwände von x-x Vorderwurzel mit x—I Hinterwurzel mit II—x

Wurzel 14,0 unter der Kauflächenmitte in zwei stark divergierende Zapfen

geteilt gut

Erhaltungszustand

Bemerkungen fortgeschrittene Ankauung ausgeprägtes Druckpolster

starke Schmelzanlösung geringe Zementanlagerung

Erhaltung entsprechend m1 mand. sin. 1750 und ähnlich m2 max. dex. 669

Ankauung wesentlich stärker als bei m1 mand. sin. 1750 Zugehörigkeit zu m1 mand. sin. 1750 dennoch wahrscheinlich Druckmarke entsprechend der vorderen von m2 max. dex. 669 Zugehörigkeit zu m2 max. dex. 669 folglich wahrscheinlich

Abbildungen

Wurzelbildung

Akralfläche (Taf. I, Fig. 4) Labialseite (Taf. I, Fig. 5) Lingualseite (Taf. I, Fig. 6)

999 (Eggenburg) m1 max. dex.

Lamellenformel x3x20,5 Kronenlänge (maximal) Kronenbreite (maximal) 15,2 Zahnhöhe (zentral) 20,0 Ankauung

Wurzelbildung Vorderwurzel mit x-l Hinterwurzel mit II-x

Wurzel 20,0 unter der Kauflächenmitte in zwei stark divergierende Zapfen

geteilt mäßig

Erhaltungszustand

Bemerkungen fortgeschrittene Ankauung mäßige Zementauflagerung

Beschädigung des hinteren äußeren Kronenteils und des gesamten hinteren Wurzelteils durch frischen

Abbruch Abbildungen

Akralfläche (Taf. I, Fig. 7) Labialseite (Taf. I, Fig. 8) Lingualseite (Taf. I, Fig. 9)

664 (Eggenburg) m2 max. dex.

 $x7\frac{1(x)}{x}$ Lamellenformel Kronenlänge 51 29 Kauflächenlänge

```
Lamellenbreite
                               etwa 29 (V) basal
                               nicht genau feststellbar
                                (externe Schmelzbeschädigung)
                                (VI) basal
                                nicht feststellbar
                                (externe Lamellenbeschädigung)
Lamellenhöhe
                               etwa 33 (V) extern
                               nicht genau feststellbar
                                (akrale Lamellenbeschädigung)
                                (V) intern
                                nicht feststellbar
                                (basale und akrale Lamellenbeschädigung)
                                (VI) extern
                                nicht feststellbar
                                (basale und akrale Lamellenbeschädigung)
                                etwa 36 (VI) intern
                                nicht genau feststellbar
                                (akrale Lamellenbeschädigung)
                                51:7,25=7,03
L.L.Q.
   in etwa \frac{1}{2} Kronenhöhe \pm senkrecht zu den Lamellen 19 (III—V extern) :3,0 = 6,33
   22 (III—V intern) :3,0 = 7,33
   Mittel 6,83
27 (III—VI extern): 4,0 = 6,75
30 (III—VI intern): 4,0 = 7,50
Mittel
   Mittel
                               725:51=14,22
D.L.I.
angekaute Lamellen
                                x-IV
                                II
vollständige Schmelzfiguren
verschmolzene Lamellen
Lage der Verschmelzung
                               0.5 - 0.8
Schmelzstärke
                               mäßige Kleinfaltung
Schmelzfaltung
Form der Kaufläche
   sich nach hinten verschmälernd - bedingt durch Breitenabnahme der Lamellenenden
Beschaffenheit der Kaufläche
   von vorn nach hinten konvex
   von außen nach innen geneigt
   keine Lamellenüberragung
Form der Schmelzfiguren
   unregelmäßig bandförmig
   bei I + III Medianspaltung durch Pression verursacht
Art der Verschmelzung
   atypisch .--. ausgebildet - bedingt durch Breitenzunahme der Seitenpfeiler
Einfallen der Hauptspalten
   nicht feststellbar (geringe Ankauung)
Form der Lamellen
   pfeilerförmig und parallel gestellt
   sich nach unten verdickend und verbreiternd
Einfallen der Lamellen
   von der Kaufläche mit etwa 75-80° distalwärts
Mammillenbildung
   nicht feststellbar (akrale Lamellenbeschädigung)
Wurzelbildung
   Zahnwurzeln schwach - Lamellenhöhlen tief
   Zahnkronenbasis sich nach hinten verbreiternd
Erhaltungszustand
   mäßig
Bemerkungen
   mäßige Zementumhüllung teilweise erhalten
   Vorderende beschädigt
   Hinterende fehlend
   Gegenstück zu m2 max. sin. o. Nr.
   Übereinstimmung in Formgebung und Abmessung
o. Nr. (Horn + Eggenburg)
                                m2 max. sin.
Lamellenformel
                                x8(x)
Kronenlänge
                                59
                                30
Kauflächenlänge
Lamellenbreite
                                etwa 29 (V) basal
                                nicht genau feststellbar
                                (externe Schmelzbeschädigung)
                                (VI) basal
```

nicht feststellbar

(externe Lamellenbeschädigung)

```
Lamellenhöhe
                                etwa 34 (V) extern
                                nicht genau feststellbar
                                (basale Lamellenbeschädigung)
                                (V) intern
                                nicht feststellbar
                                (basale und akrale Lamellenbeschädigung)
                                (VI) extern
                                nicht feststellbar
                                (basale und akrale Lamellenbeschädigung)
                                etwa 36 (VI) intern
                                nicht genau feststellbar
                                (akrale Lamellenbeschädigung)
                                \dot{5}9:8,25=7,15
L.L.Q.
   in etwa ^{1}/_{2} Kronenhöhe \pm senkrecht zu den Lamellen 20 (III—V extern) :3,0 = 6,67 23 (III—V intern) :3,0 = 7,67
   Mittel
   28 (III—VI extern): 4,0 = 7,00
   31 (III—VI intern): 4.0 = 7.75
   Mittel
D.L.I.
                                825:59 = 13,98
angekaute Lamellen
                                \mathbf{II}
vollständige Schmelzfiguren
verschmolzene Lamellen
Lage der Verschmelzung
                                0,5--0,8
Schmelzstärke
Schmelzfaltung
                                mäßige Kleinfaltung
Form der Kaufläche
   sich nach hinten verschmälernd — bedingt durch Breitenabnahme der Lamellenenden
Beschaffenheit der Kaufläche
   von vorn nach hinten konvex
   von außen nach innen geneigt
   keine Lamellenüberragung
Form der Schmelzfiguren
   unregelmäßig bandförmig
   bei I + III Medianspaltung durch Pression verursacht
Art der Verschmelzung
   atypisch . —. ausgebildet — bedingt durch Breitenzunahme der Seitenpfeiler
Einfallen der Hauptspalten
   nicht feststellbar (geringe Ankauung)
Form der Lamellen
   pfeilerförmig und parallel gestellt
   sich nach unten verdickend und verbreiternd
Einfallen der Lamellen
   von der Kaufläche mit etwa 75-80° distalwärts
Mammillenbildung
   nicht feststellbar (akrale Lamellenbeschädigung)
Wurzelbildung
   Zahnwurzeln schwach — Lamellenhöhlen tief
   Zahnkronenbasis sich nach hinten verbreiternd
Erhaltungszustand
   mäßig
Bemerkungen
   mäßige Zementumhüllung teilweise erhalten
   Vorderende beschädigt
   Hinterende mit angedeuteter Pressionsmarke — breitflächig
   Gegenstück zu m2 max. dex. 664
   Übereinstimmung in Formgebung und Abmessung
   x6-=x-VI=o. Nr. (Horn)
     -3(x) = VI—(x) = 0. Nr. (Eggenburg)
   Zusammengehörigkeit nach Formgebung und Abmessung
669 (Eggenburg)
                                m2 max. dex.
Lamellenformel
                                x8(x)
                                53
Kronenlänge
                                43
Kauflächenlänge
Lamellenbreite
                                34,5 (V) basal
                                36 (VI) basal
                                34 (VI) extern
Lamellenhöhe
                                35 (VI) intern
                                53:8,25=6,42
   in etwa ½ Kronenhöhe ± senkrecht zu den Lamellen 28 (III—VI extern):4,0 = 7,00
   24 (III—VI intern): 4.0 = 6.00
```

Mittel

Art der Verschmelzung intermediär ausgebildet

```
825:53=15.57
D.L.I.
                                x-VI
angekaute Lamellen
vollständige Schmelzfiguren
verschmolzene Lamellen
                                x---I
Lage der Verschmelzung
                                extern
Schmelzstärke
                                0,5-0,8
Schmelzfaltung
                                mäßige Kleinfaltung
Form der Kaufläche
   sich nach hinten verschmälernd — bedingt durch Breitenabnahme der Lamellenenden
Beschaffenheit der Kaufläche
    von vorn nach hinten konvex
    von außen nach innen geneigt
    geringe bis mäßige Lamellenüberragung
Form der Schmelzfiguren
    unregelmäßig bandförmig
    bei II-III Medianspaltung durch Pression verursacht
    bei IV-VI nur Mammillen des Mittelpfeilers eröffnet
Art der Verschmelzung

ausgebildet — bedingt durch Breitenzunahme der Seitenpfeiler

   atypisch .-
Einfallen der Hauptspalten
   nicht feststellbar (geringe Ankauung)
Form der Lamellen
   pfeilerförmig und parallel gestellt
    sich nach unten verdickend und verbreiternd
Einfallen der Lamellen
   von der Kaufläche mit etwa 60-65° distalwärts
Mammillenbildung
   bei VI mindestens 6 Mammillen am Mittelpfeiler erkennbar
Wurzelbildung
    Zahnwurzeln schwach — Lamellenhöhlen tief
    Zahnkronenbasis sich nach hinten verbreiternd
Erhaltungszustand
Bemerkungen
   geringe Zementanlagerung vollständig erhalten
Vorderende mit ausgeprägter Pressionsmarke — breitflächig
   Hinterende mit angedeuteter Pressionsmarke - breitflächig
    (ab VII zahlreiche basale Digitellen)
Abbildungen
   Akralfläche (Taf. II, Fig. 1)
Labialseite (Taf. II, Fig. 2)
   Lingualseite (Taf. II, Fig. 3)
o. Nr. (Horn)
                                m2 mand. sin.
Lamellenformel
                                _{\infty}^{x} 8(x)
                                64
Kronenlänge
Kauflächenlänge
                                61
                                etwa 29 (V) akral
Lamellenbreite
                                nicht genau feststellbar
                                (interne Schmelzbeschädigung)
                                32 (VII) basal
25 (VI) extern
29 (VI) intern
Lamellenhöhe
                                64:8,25=7,76
L.L.Q.
   auf den Kronenseiten ± senkrecht zu den Lamellen
   40 (II—VI extern): 5.0 = 8.00
   44 (II—VI intern): 5.0 = 8.80
   Mittel
                             8,40
D.L.I.
                                825:64 = 12.89
                                I—VIII
angekaute Lamellen
                                I-VI
vollständige Schmelzfiguren
verschmolzene Lamellen
Lage der Verschmelzung
Schmelzstärke
                                0.5 - 0.8
Schmelzfaltung
                                mäßige Kleinfaltung
Form der Kaufläche
   langoval
Beschaffenheit der Kaufläche
   von vorn nach hinten konkav
   von außen nach innen geneigt
   geringe Lamellenüberragung
Form der Schmelzfiguren
   unregelmäßig bandförmig
```

Einfallen der Hauptspalten nicht feststellbar (starke Abkauung) Form der Lamellen pfeilerförmig und parallel gestellt sich nach unten verdickend und verbreiternd Einfallen der Lamellen von der Kaufläche mit etwa 70-75° distalwärts Mammillenbildung nicht feststellbar (starke Abkauung) Wurzelbildung Zahnwurzeln stark Vorderwurzel mit I—III Hinterwurzel mit IV—(x) Ende breit in etwa 25 mm hohe Pfahlwurzel auslaufend Erhaltungszustand gut Bemerkungen starke Zementumhüllung weitgehend erhalten Vorderende ohne Pressionsmarke — erniedrigt Hinterende ohne Pressionsmarke — breitflächig Abbildungen Akralfläche (Taf. II, Fig. 4) Labialseite (Taf. II, Fig. 5) Lingualseite (Taf. II, Fig. 6) 2044 (Eggenburg) m3 x4— Lamellenformel 30,0 (II) 31,0 (III) etwa 50 (III) Lamellenbreite (maximal) Lamellenhöhe (maximal) Bemerkungen beginnende Ankauung ausgeprägtes Druckpolster geringe Zementanlagerung 56 (Eggenburg) m3 -2xLamellenformel Lamellenbreite (maximal) 38,5 (I) Lamellenhöhe (maximal) etwa 60 (I) Bemerkungen keine Ankauung angedeutetes Druckpolster mäßige Zementauflagerung o. Nr. (Eggenburg) m3 max. dex. Lamellenformel  $_{\infty}^{x} 10(x)$ etwa 88 Kronenlänge nicht genau feststellbar (starke Querrisse) Kauflächenlänge etwa 87 nicht genau feststellbar (starke Querrisse) 36,5 (V) akral 38 (VI) akral Lamellenbreite 43 (VIII) basal Lamellenhöhe nicht feststellbar (basale Zementbedeckung oder basale Schmelzbeschädigung) 88:10,0=8,80L.L.Q. D.L.I. 1000:88 = 11,36angekaute Lamellen I---X IV-VIII vollständige Schmelzfiguren III—I verschmolzene Lamellen I—II median + (extern) + (intern) Lage der Verschmelzung II—III extern + (intern) Schmelzstärke 0,8-1,0mäßige Kleinfaltung Schmelzfaltung Form der Kaufläche langoval Beschaffenheit der Kaufläche von vorn nach hinten konvex

von außen nach innen geneigt geringe Lamellenüberragung

```
Form der Schmelzfiguren
     unregelmäßig bandförmig
 Art der Verschmelzung
    atypisch . —. ausgebildet — bedingt durch Breitenzunahme der Seitenpfeiler
 Einfallen der Hauptspalten
    nicht feststellbar (starke Abkauung)
 Form der Lamellen
    pfeilerförmig und parallel gestellt
    sich nach unten verdickend und verbreiternd
 Einfallen der Lamellen
     von der Kaufläche mit etwa 80° distalwärts
 Mammillenbildung
    nicht feststellbar (starke Abkauung)
 Wurzelbildung
     Zahnwurzeln stark
     Vorderwurzel mit I—II
    Hinterwurzel mit III-(x)
    Ende breit in etwa 50 mm hohe Pfahlwurzel auslaufend
 Erhaltungszustand
    mäßig
    Krone mit zahlreichen Querrissen
    (Längenmaße deshalb um 5 mm herabgesetzt)
 Bemerkungen
starke Zementumhüllung teilweise erhalten
    Vorderende ohne Pressionsmarke — erniedrigt
    Hinterende mit ausgeprägter Pressionsmarke — breitflächig
 49 (a. Nr., s. S. 53)
                                m3
    (Eggenburg)
                                 x3-
 Lamellenformel
                                 35,5 (II)
Lamellenbreite (maximal)
                                 etwa 45 (II)
 Lamellenhöhe (maximal)
Bemerkungen
                                 keine Ankauung
                                angedeutetes Druckpolster
                                 mäßige Zementauflagerung
o. Nr. (Eggenburg)
                                m3
                                x2-
Lamellenformel
                                36,5 (II)
Lamellenbreite (maximal)
Lamellenhöhe (maximal)
                                etwa 45 (II)
                                beginnende Ankauung
Bemerkungen
                                ausgeprägtes Druckpolster
                                geringe Zementanlagerung
2563 (Eggenburg)
                                m3 max. dex.
Lamellenformel
                                x11x
Kronenlänge
                                108
Kauflächenlänge
                                52
                                34 (II) akral
35 (III) akral
Lamellenbreite
                                54 (VIII) basal
Lamellenhöhe
                                etwa 71 (VIII) extern
                                nicht genau feststellbar
                                (akrale Zementbedeckung)
                                etwa 76 (VIII) intern
                                nicht genau feststellbar
                                (akrale Zementbedeckung)
L.L.Q.
                                108:12,0=9,00
   in etwa ½ Kronenhöhe ± senkrecht zu den Lamellen
46 (IV—VIII extern):5,0 = 9,20
43 (IV—VIII intern):5,0 = 8,60
Mittel 8,90
D.L.I.
                                1200:108=11,11
angekaute Lamellen
vollständige Schmelzfiguren
                                Π
verschmolzene Lamellen
Lage der Verschmelzung
Schmelzstärke
                                0,8--1,0
Schmelzfaltung
                                mäßige Kleinfaltung
Form der Kaufläche
```

sich nach hinten verschmälernd — bedingt durch Breitenabnahme der Lamellenenden

```
Beschaffenheit der Kaufläche
   von vorn nach hinten konvex
   von außen nach innen geneigt
   geringe bis mäßige Lamellenüberragung
Form der Schmelzfiguren
   unregelmäßig bandförmig
   bei I-III Ausbildung durch Pression beeinflußt
Art der Verschmelzung
   atypisch . —. ausgebildet — bedingt durch Breitenzunahme der Seitenpfeiler
Einfallen der Hauptspalten
   nahezu senkrecht
Form der Lamellen
   pfeilerförmig und parallel gestellt
   sich nach unten verdickend und verbreiternd
Einfallen der Lamellen
   von der Kaufläche mit etwa 70° distalwärts
Mammillenbildung
   bei V mindestens 3 Mammillen am Mittelpfeiler erkennbar
Wurzelbildung
   Zahnwurzeln schwach — Lamellenhöhlen tief
   Zahnkronenbasis sich nach hinten verbreiternd
Erhaltungszustand
   gut
Bemerkungen
   mäßige Zementumhüllung weitgehend erhalten
   Vorderende mit ausgeprägter Pressionsmarke -
                                                    · breitflächig
   Hinterende ohne Pressionsmarke — breitflächig
   Gegenstück zu m3 max. sin. 861
   Übereinstimmung in Formgebung und Abmessung
Abbildungen
   Akralfläche (Taf. III, Fig. 1)
   Labialseite (Taf. III, Fig. 2)
861 (Eggenburg)
                               m3 max. sin.
Lamellenformel
                               geringe Ankauung
Bemerkungen
                               schlechte Erhaltung
                               zerfallener Mittelteil
                                Gegenstück zu m3 max. dex. 2563
                                Übereinstimmung in Formgebung und Abmessung
o. Nr. (Eggenburg)
                               M1/2 max. sin.
Lamellenformel
                               x7-
                               78
Kronenlänge
                               40
Kauflächenlänge
                                35 (III) akral
Lamellenbreite
                               65 (V) basal
116 (IV) extern
118 (IV) intern
Lamellenhöhe
                               78:7,5 = 10,40
L.L.Q.
   in etwa ^{1}/_{2} Kronenhöhe \pm senkrecht zu den Lamellen 36 (IV—VI extern): 3,0 = 12,00 32 (IV—VI intern): 3,0 = 10,67
                             11,34
   Mittel
D.L.I.
                               750:78 = 9.62
                               x—III
angekaute Lamellen
vollständige Schmelzfiguren
verschmolzene Lamellen
Lage der Verschmelzung
Schmelzstärke
                               mäßige Kleinfaltung
Schmelzfaltung
Form der Kaufläche
   sich nach hinten verschmälernd — bedingt durch Breitenabnahme der Lamellenenden
Beschaffenheit der Kaufläche
   von vorn nach hinten konvex
   von außen nach innen geneigt
   keine Lamellenüberragung
Form der Schmelzfiguren
   unregelmäßig bandförmig
   bei I—II Ausbildung durch Pression beeinflußt
Art der Verschmelzung
   atypisch . —. ausgebildet — bedingt durch Breitenzunahme der Seitenpfeiler
```

4

```
Einfallen der Hauptspalten
   nahezu senkrecht
Form der Lamellen
   pfeilerförmig und parallel gestellt
   sich nach unten verdickend und verbreiternd
Einfallen der Lamellen
   von der Kaufläche mit etwa 55-60° distalwärts
Mammillenbildung
   bei VII mindestens 6 Mammillen am Mittelpfeiler erkennbar
Wurzelbildung
   Zahnwurzeln schwach — Lamellenhöhlen tief
Erhaltungszustand
   mäßig
Bemerkungen
   mäßige Zementumhüllung weitgehend erhalten
   Vorderende mit ausgeprägter Pressionsmarke — breitflächig
   Hinterende fehlend
   (nach VII vermutlich alter Abbruch)
   Stellung im Gebiß unsicher — M1 eines starken oder M2 eines schwachen Individuums
48 (a. Nr., s. S. 53)
   (Eggenburg)
                                M 1/2 max. dex.
Lamellenformel
                                --6x
                                68
Kronenlänge
Kauflächenlänge
                                nicht feststellbar
                                (starke Zerstörung)
Lamellenbreite
                                nicht feststellbar
                                (externe und interne Lamellenbeschädigung)
Lamellenhöhe
                                etwa 42 (V) extern
                                nicht genau feststellbar
                                (basale und akrale Lamellenbeschädigung)
                                etwa 42 (V) intern
                                nicht genau feststellbar
                                (basale und akrale Lamellenbeschädigung)
L.L.Q.
                                68:6,5=10,46
   auf den Kronenseiten ± senkrecht zu den Lamellen
   39 (II—V extern): 4,0 = 9,75
39 (II—V intern): 4,0 = 9,75
   Mittel
                                650:68 = 9,56
D.L.I.
                                I-VI oder I-x
angekaute Lamellen
                                nicht genau feststellbar
                                (starke Zerstörung)
vollständige Schmelzfiguren
                                nicht feststellbar
                                (starke Zerstörung)
                                nicht feststellbar
verschmolzene Lamellen
                                (starke Zerstörung)
Lage der Verschmelzung
                                nicht feststellbar
                                (starke Zerstörung)
Schmelzstärke
                                1,0
                               mäßige Kleinfaltung
Schmelzfaltung
Form der Kaufläche
nicht feststellbar (starke Zerstörung)
Beschaffenheit der Kaufläche
   von vorn nach hinten konvex
   von außen nach innen geneigt
   geringe Lamellenüberragung
Form der Schmelzfiguren
unregelmäßig bandförmig
Art der Verschmelzung
   nicht feststellbar (starke Abkauung)
Einfallen der Hauptspalten
   nicht feststellbar (starke Abkauung)
Form der Lamellen
   pfeilerförmig und parallel gestellt
Einfallen der Lamellen
   von der Kaufläche mit etwa 70-75° distalwärts
Mammillenbildung
   nicht feststellbar (starke Abkauung)
Wurzelbildung
   Zahnwurzeln stark
```

Ende breit in etwa 50 mm hohe Pfahlwurzel auslaufend

```
Erhaltungszustand
   schlecht
   Krone mit erheblicher Zerstörung
   (Kaufläche deshalb nicht umgrenzbar)
Bemerkungen
   starke Zementumhüllung vollständig entfernt
    Vorderende fehlend
   Hinterende beschädigt
   Stellung im Gebiß unsicher — M1 eines starken oder M2 eines schwachen Individuums
1000 (Eggenburg)
                                M3 max. dex.
                                ∞7 (x)
Lamellenformel
Kronenlänge
                                113
Kauflächenlänge
                                113
Lamellenbreite
                                etwa 60 (III) akral
                                nicht genau feststellbar
                                (externe Schmelzbeschädigung)
Lamellenhöhe
                                 (VI) extern
                                nicht feststellbar
                                (basale Schmelzbeschädigung)
                                54 \text{ (VI) intern } 60:5,5 = 10,91
L.L.Q.
                                Länge 60 (III-(x) in Kauflächenmitte)
                                L.L.Q. zu hoch (flaches Lamelleneinfallen)
   auf den Kronenseiten ± senkrecht zu den Lamellen
   47 (II—VI extern): 5.0 = 9.40
   46 (II—VI intern): 5.0 = 9.20
   Mittel
D.L.I.
                                550:60 = 9,17
                                Länge 60 (ÍII—(x) in Kauflächenmitte)
                                D.L.I. zu nieder (flaches Lamelleneinfallen)
angekaute Lamellen
                                I—(x)
III—VI
vollständige Schmelzfiguren
                                TI—T
verschmolzene Lamellen
                                extern + (median)
1,0—1,2
Lage der Verschmelzung
Schmelzstärke
Schmelzfaltung
                                mäßige Kleinfaltung
Form der Kaufläche
   halboval mit vorgelagertem Dentinplanum
Beschaffenheit der Kaufläche
   von vorn nach hinten konvex
   von außen nach innen geneigt
   mäßige bis kräftige Lamellenüberragung
   I in ein nach vorn abfallendes bis etwa 20 mm unter dem Abrasionsniveau gelegenes Dentinplanum
   übergehend
Form der Schmelzfiguren
   unregelmäßig bandförmig
   bei II—V Gestaltung durch seitliches Zurückbiegen bestimmt
bei III—VI Seitenteile gegen aufgetriebenen Mittelteil abgesetzt
   bei VII Zweiteilung durch tiefgehende Mittelspalte bedingt
Art der Verschmelzung
   nicht feststellbar (starke Abkauung)
Einfallen der Hauptspalten
   nicht feststellbar (starke Abkauung)
Form der Lamellen
   pfeilerförmig und parallel gestellt
Einfallen der Lamellen
   von der Kaufläche mit etwa 50-60° distalwärts
Mammillenbildung
   nicht feststellbar (starke Abkauung)
Wurzelbildung
   Zahnwurzeln stark
   Seiten flächig als geriefte Wurzelwände ausgebildet
   Ende schmal in etwa 90 mm hohe Pfahlwurzel auslaufend
Erhaltungszustand
   gut
Bemerkungen
   starke Zementumhüllung teilweise erhalten
   Vorderende ohne Pressionsmarke — abgekaut
Hinterende ohne Pressionsmarke — zugerundet
   Stellung im Gebiß gesichert — Abkaurest eines senilen diminutiven Individuums
Abbildungen
   Akralfläche (Taf. IV, Fig. 1)
   Labialseite (Taf. IV, Fig. 2)
```

#### III. Artbestimmung

An der Zuordnung der Elefantenreste aus der Teufelslucken — sofern sie spezifisch determiniert werden können — zu Elephas (Mammonteus) primigenius BLUMENBACH ist nicht zu zweifeln und auch nicht daran, daß sie der progressiven, jungpleistozänen Form des Mammuts angehören, einer Form, welche in Mitteleuropa die Würm-eiszeitlichen Ablagerungen charakterisiert. Um solches zu erweisen, sollen die wenigen, mehr oder minder vollständig überlieferten Backenzähne mit jungpleistozänen Materialien verschiedener Provenienz — darunter bislang unveröffentlichte Belege aus Höhlen der Schwäbischen Alb — verglichen werden.

m2 max.		Lamellenformel	Kronenlänge	L.L.Q.
Teufelslucken	669	x8(x)	53 mm	6,4
	664	x8(x) (ergänzt)	58 mm	7,0
	o. Nr.	x8(x)	59 mm	7,2
Vogelherd	(Tü)	(x)7x!		
_		oder $(x)8(x)$	53 mm	6,6
Ofnet	(St)	(x)7x	56 mm	7,0
	(St)	x!7x		
		oder (x)8x	58 mm	7,0
Lindentaler Höhle	(Ge)	x8x	58 mm	6,8
m2 mand.		Lamellenformel	Kronenlänge	L.L.Q.
Teufelslucken	o. Nr.	x8(x) (ergänzt)	66 mm	7,8
Vogelherd	(Tü)	7x		
_		oder (x)7x	58 mm	7,2
	(Tü)	x7x	61 mm	7,6
Lindentaler Höhle	(Ge)	x!8x	67 mm	7,4
m3 max.		Lamellenformel	Kronenlänge	L.L.Q.
Teufelslucken	o. Nr.	x10(x) (ergänzt)	92 mm	8,8
	2563	x11x	108 mm	9,0
Ofnet	(St)	(x)11x!	94 mm	7,8
Eggenstein	(Ka)	x!10x	102 mm	9,3
	(Ka)	x!10x	103 mm	9,4
Emmendingen	(Fr)	<b>x</b> 10 <b>x</b>	104 mm	9,4
(W. SOERGEL 19	13 Tab. 2—3)			

Die Aufstellung bedarf keiner besonderen Erläuterung, doch mögen dieser noch einige neuerlich veröffentlichte Angaben über entsprechende Backenzähne des Mammuts von Předmost als Beispiel für die Variationsbreite eines räumlich wie zeitlich einheitlichen oder doch eng begrenzten Materials aus der jüngeren Würm-Eiszeit angefügt werden.

	Lamellenzahl	Kronenlänge	L.L.Q.
m2 max.	meist 7	50— 60 mm	6,3— 7,4
m2 mand.		50— 65 mm	
m3 max.	meist 10—11	80110 mm	7,1—10,1
(R. MUSIL 1958 S. 109)			

Weitere Vergleiche erscheinen überflüssig; denn zum einen ist die vorgenannte phyletische Position des Mammuts aus der Teufelslucken und der hieraus zu folgernde Zeitansatz hinreichend gesichert, zum andern aber verwehrt das vergleichsweise geringe Fundgut eine bestimmtere Aussage auf Grund der Entwicklungshöhe des Backenzahngebisses.

## IV. Fundauswertung

#### 1. Lagerung

Von den insgesamt 38 Mammutbelegen aus der Teufelslucken tragen immerhin 28 Nummern, welche es ermöglichen, mittels der von O. SICKENBERG (1938 Beil. nach S. 130) bzw. XI, S. 140 ff. gegebenen Fundübersicht deren jeweilige Herkunft mehr oder minder genau festzulegen.

1c	1151	m-Fragment	Eingang I und II	Schicht c
1d	1168	I2-Fragment		Schicht d
1e	496	m3-Fragment		Schicht e
1e	664	m2 max. dex.		Schicht e
1f	861	m3 max. sin.		Schicht f
1f	1214	m-Fragment		Schicht f
1h	968	M-Fragment		Schicht h
1h	1000	M3 max. dex.		Schicht h
1m	220	I2-Fragment		allgemein
1m	2563	m3 max. dex.		allgemein
2	669	m2 max. dex.	vor Eingang II	Vorplatz
2	999	m1 max. dex.		Vorplatz
3a	46	Vertebra thoracica	hinter Eingang I	Haupthöhle
3a	<b>4</b> 7	Os tarsi tibiale		Haupthöhle
3a	48	M1/2 max. dex.		Haupthöhle
3a	49	m3-Fragment		Haupthöhle
3a	56	m3-Fragment		Haupthöhle
3d	<b>13</b> 70	M-Fragment	hinter Eingang II	Bärenecke
3e	1427	m1 max. dex.		Bärengang
3f	15 <b>2</b> 8	m-Fragment		Dachsloch
4a	1650	Os carpi ulnare	im Innern	allgemein
4a	1750	m1 mand. sin.		allgemein
4a	2044	m3-Fragment		allgemein
4e	2351	Humerus		Rückwand
4e	2353	Tibia		Rückwand
4e	<b>23</b> 59	Atlas		Rückwand
4e	2406	m-Fragment		Rückwand
4f	393	Vertebra cervicalis		Rückwand

Angemerkt sei, daß die mit den Nummern 46, 47, 48 und 49 gezeichneten Funde eine abweichende, offensichtlich aus älterer Zeit stammende Bezifferung aufweisen und folglich nur mit Vorbehalt den Materialien aus der Haupthöhle zugeordnet werden können. Es ist dies eine Einschränkung, die Aussagen über die räumliche Verteilung der Reste jedoch kaum zu beeinflussen vermag.

	Skelettreste	Gebißreste	Gesamtzahl
Höhleneingang		12	12
Höhleninneres			
mit Nr. 46—49	7	9	16
ohne Nr. 46—49	5	7	12

Die Aufstellung zeigt, daß die Funde, in ihrer Gesamtheit betrachtet, scheinbar regellos über die Ausgrabungsfläche verstreut waren, doch wurden einerseits die Knochenfragmente ohne Ausnahme im Innern der Höhle ergraben, und andererseits waren die Gebißreste — darunter beide bezifferte Defensenstücke — im Bereich des Eingangs angereichert. Letzteres mag durch die dort beobachtete, von O. SICKENBERG (1938 S. 21—23) mitgeteilte größere Mächtigkeit der eiszeitlichen Ablagerungen bedingt sein, welche von wenigen Dezimetern im Innern auf gegen anderthalb Meter zwischen den Eingängen I und II ansteigend es zudem ermöglicht hat, hier eine Gliederung des Profils zu versuchen und horizontiert aufzusammeln. Die derart geborgenen Funde bezeugen das Aushalten des Mammuts durch nahezu die gesamte fossilführende Schichtfolge und bekräftigen dadurch die Aussage O. SICKENBERGs (1933 S. [35], [37]), die jungpleistozäne Fauna der Teufelslucken zeige stratigraphisch ein durchaus einheitliches Gepräge und innerhalb des Profils keine bemerkenswerte Abwandlung.

Eingang II	Schichtfolge		Mammut
	1933	1938	
Oberes schwärzliches Band			
("Obere Kulturschicht")	8	b + k	
direkt darunter	7	c	+
30 cm darunter	6	d	+
Graue Schicht	5	e	+
Weiße Schicht	4	f	+
Weißbraune Schicht		g	
Braune Schicht	1	h	+
Grüne Schicht	2	i	_
Unteres schwärzliches Band			
("Untere Kulturschicht")	3	j+1	et a constant

(O. SICKENBERG 1933 S. (36)—(37); 1938 Beil. nach S. 130 bzw. XI, S. 140 ff.)

In dieser vielschichtigen Abfolge bilden die basalen Glieder eine Einheit, durchzieht doch nach O. SICKENBERG (1938 S. 22) das Untere schwärzliche Band die Braune Schicht, welcher Schmitzen der Grünen Schicht eingelagert sind. Aber auch den höheren Horizonten kommt infolge ihres in Mächtigkeit wie Ausbildung gleichermaßen starken und raschen Wechsels nur ein bedingter Wert für die Gliederung der fossilführenden jungpleistozänen Höhlenverfüllung zu.

## 2. Häufigkeit

Wie die gegebene Übersicht der Mammutfunde erweist, steht den spärlichen Belegen vom Skelett eine etwas umfänglichere Ausbeute an Gebißresten gegenüber, doch ist von diesen nahezu die Hälfte für einen Individuennachweis nicht geeignet: Lediglich 17 Funde sind hinlänglich erhalten, um ein Urteil über die Häufigkeit des Mammuts zu gewinnen. Da sich unter diesen zwei Backenzahnpaare feststellen lassen und ferner die individuelle Zusammengehörigkeit zweier erster und eines zweiten Milchbackenzahnes wahrscheinlich

gemacht werden kann, sind 13 Tiere belegt, eine Dokumentation, die, gemessen an jener der Höhlenhyäne — nur über diese waren bislang (vgl. aber XI, S. 139) genaue Angaben veröffentlicht —, recht bescheiden anmutet.

	Höhlenhyäne	Mammut
Anzahl der Funde		
Skelettreste	1096	7
Gebißreste	955	31
Mindestzahl der Tiere		
gesichert	67	13
wahrscheinlich	100	15

(K. EHRENBERG 1940 S. 263—265, Beil. nach S. 300)

Diese Gegenüberstellung mag noch erweitert werden durch Einbeziehen eines ebenfalls jungpleistozänen, gut durchforschten Hyänenhorstes, der Irpfelhöhle bei Giengen an der Brenz. Der Vergleich zeigt hier wie dort das starke Überwiegen der Höhlenhyäne, zugleich aber unterstreicht er den im Fundmaterial, weniger im Individuenbestand, geringen Anteil des Mammuts in der Teufelslucken.

	Höhlenhyäne	Mammut
Gesamtzahl der Funde		
Teufelslucken	2051 = 98%	38 = 2%
Irpfelhöhle	92 = 85 %	16 = 15%
Mindestzahl der Tiere		
Teufelslucken	67 = 84 %	13 = 16%
Irpfelhöhle	12 = 71 %	5 = 29 %

(F. BERCKHEMER 1933—1935 S. 11 Tab.)

Die vergleichende Wertung dieser Höhlen gewinnt an Berechtigung wie an Bedeutung dadurch, daß die Irpfelhöhle mit der Teufelslucken die geringe Anzahl der offenbar weit gestreuten Artefakte gemein hat (J. BAYER 1927 S. 104—107; F. BRANDTNER u. F. ZABUSCH 1950 S. 89—95; E. PETERS 1933—1935 S. 10; R. R. SCHMIDT 1912 S. 32). Beiden fehlen ausgeprägte Kulturschichten — die als solche angesehenen Bänder in der Teufelslucken sind durch Eisen- und Mangananreicherung entstanden (O. SICKENBERG 1938 S. 17—18 sowie I, S. 10) —, und folglich ist für die genannten Stationen nur gelegentliche und vorübergehende menschliche Anwesenheit anzunehmen, kurze Jagdaufenthalte zwischen Zeiten der Besiedlung durch die Höhlenhyäne.

#### 3. Lebensalter

Wie in dem Hyänenhorst der Irpfelhöhle, so überwiegen auch in der Teufelslucken die Überreste junger Mammute, welche vor Einrücken und Gebrauch des Dauergebisses verendet sind.

Altersgruppen (m/M)	Jungtiere	Alttiere
Irpfelhöhle	4 = 80 %	1 = 20%
Teufelslucken	10 = 77 %	3 = 23%

(F. BERCKHEMER 1933—1935 S. 11 Tab.)

Dieses Vorherrschen von Jungtieren in der Irpfelhöhle glaubte W. SOERGEL (1912 S. 13, 61—62) allein der Höhlenhyäne anlasten zu sollen; F. BERCKHEMER (1933—1935 S. 13—14) dagegen wollte nicht entscheiden, ob der ergrabene Befund als Ausdruck der Beutewahl der Höhlenhyäne oder aber als Hinweis auf menschliche Jagd zu werten sei. Das etwas reichere Fundgut der Teufelslucken mag jedoch Anlaß geben, jener Frage nachzugehen; denn hier ist es möglich, eine Altersgliederung zu versuchen, wie sie W. SOERGEL (1922 S. 82—97) schon vor langem durchgeführt und eingehend erörtert hat in der Absicht, die Jagd des Paläolithikers auf eiszeitliche Elefanten nachweisen zu können.

Altersgruppen (Jahre)	unter 6	6—20	20—50	über 50
Emmendingen	0%	17%	21 %	62%
Salzgitter-Lebenstedt	23%	31 %	23 %	23%
Teufelslucken	31 %	46%	15%	8%

(E. W. GUENTHER 1953 S. 189 Tab.; W. SOERGEL 1912 S. 23 Tab.; 1922 S. 84 Tab.)

Der normale Abgang, wie er für die Mammute aus dem jüngeren Löß von Emmendingen in Baden an einem größeren Fundgut festgestellt werden konnte, wird der Ansammlung von Mammutresten in dem jungpleistozänen Jägerlager bei Salzgitter-Lebenstedt gegenübergestellt: Bei den ersteren überwiegen Tiere von über 50 Jahren, unter letzteren dagegen sind es Belege 6- bis 20jähriger, die vorherrschen und derart einen gewaltsamen Eingriff in den Lebensablauf erkennen lassen. Solches gilt auch für die Mammute der Teufelslucken, selbst wenn die beiden in ihrer Stellung innerhalb des Gebisses fraglichen ersten oder zweiten Molaren der Gruppe der 20- bis 50jährigen zugeordnet werden. Der Ausfall an heranwachsenden Tieren ist hier ausnehmend hoch und läßt an dem einstigen Jagderfolg des Paläolithikers nicht zweifeln. Für das Einschleppen der Mammutkadaver in die Teufelslucken die Höhlenhyäne verantwortlich machen zu wollen, geht schon deshalb nicht an, da Tiere zwischen 6 und 20 Jahren — und diese machen ja annähernd die Hälfte des Abganges aus — bereits eine stattliche Körpergröße erreichen und auch vom Menschen nur zerwirkt zur Höhle verbracht werden konnten.

	Schulterhöhe	
Elephas maximus	♂	9
6— 7 Jahre	150—196 cm	140—188 cm
8— 9 Jahre	163—211 cm	160—201 cm
1011 Jahre	170—226 cm	170—208 cm
12—13 Jahre	190—241 cm	180—208 cm
14—15 Jahre	206—244 cm	183—216 cm
16—17 Jahre	211—244 cm	190—221 cm
18—19 Jahre	201—246 cm	196—224 cm
20-21 Jahre	206—244 cm	196—229 cm

(S. S. FLOWER 1943 S. 25 Tab.)

Aber nicht nur der Größe, jener des Indischen Elefanten durchaus vergleichbar, sondern auch ihrer Wehrhaftigkeit wegen — in dieser Altersgruppe dürften die Tiere geschlechtsreif geworden sein (S. S. FLOWER 1943 S. 21—22) — kann bei den gegebenen Verhältnissen nur der Paläolithiker deren vorzeitiges Ende verursacht haben. Auch das Überwiegen maxillarer Backenzähne, die leichter aus den Kiefern herauszubrechen sind als die mandibularen, dürfte ebenso wie die geringe Anzahl zusammengehöriger Gebißreste und die Seltenheit von Stoßzahnfunden auf des Menschen Wirken hindeuten.

Wie aber wurde dieses Großwild von dem nur unzulänglich bewehrten Jäger erbeutet? Selbst hierauf vermag die Altersgliederung des Fundguts Hinweis oder Antwort zu geben, stimmt sie doch mit jener der Waldelefantenreste aus den Eem-interglazialen Travertinen Taubachs darin überein, daß zum einen Belege alter Tiere nur einen geringen Anteil am Gesamtmaterial ausmachen und zum andern der feststellbare Abgang — von W. SOERGEL (1922 S. 93 Anm. 22) als Jahrgangsdurchschnitt eingeführt — bei den unter 6jährigen am höchsten liegt.

Altersgruppenanteil Altersgruppen (Jahre)	unter 6	6—50	über 50
Taubach	25 %	58 %	17 %
Teufelslucken	31 %	61 %	8 %
Jahrgangsdurchschnitt Altersgruppen (Jahre)	unter 6	6—20	20—50
Taubach	4,2	2,1	1,0
Teufelslucken	5,2	3,3	0,5

(W. SOERGEL 1922 S. 84 Tab., 96 Tab.)

Hat seinerzeit W. SOERGEL (1922 S. 98—103) aus diesen Werten, den Fundumständen und den Jagdmöglichkeiten für den Taubacher Waldelefanten einstigen Fallgrubenfang erschlossen, so darf nun mit derselben Begründung ein solcher auch für das Mammut der Teufelslucken vermutet werden. Zu dieser Jagd mußte der von O. SICKENBERG (1938 S. 13) nahe der Höhle festgestellte alte Zwangswechsel (vgl. auch XI, S. 155) zwischen der Hochfläche des Königsberges und der Talniederung des Maigner Baches geradezu herausfordern und—erinnert sei an die Wildfanggruben O. HAUSERs (1916 S. 19—20; 1917 S. 63—65; 1920 S. 97; 1921 S. 67—68; 1928 S. 40—41) am Talhang der Vézère unweit Les Eyzies — gewiß auch den erhofften Erfolg bringen.

#### 4. Wuchsform

Unter den derart erbeuteten, meist jungen Mammuten aus der Teufelslucken finden sich Tiere mit verhältnismäßig schwachen und andere mit wesentlich kräftiger gebauten Backenzähnen. Da die Schichtangaben das Vorliegen zweier zeitverschiedener Formen nicht wahrscheinlich machen lassen, muß angenommen werden, daß Vertreter beider Größengruppen nebeneinander oder miteinander gelebt haben, und zwar — wie die Auswertung der Milchbackenzähne zeigt — offenbar in jeweils gleicher Häufigkeit.

	kleinwüchsig	großwüchsig
m1m2	<u> </u>	0
Anzahl der Funde	5	2
Anzahl der Tiere	2	2
m3		
Anzahl der Funde	3	4
Anzahl der Tiere	3	3

Es ist naheliegend, vorstehenden Befund als geschlechtsbedingt deuten zu wollen, zumal das Verhältnis von schwach und stark dimensionierten Backenzähnen jenem männlicher und weiblicher Kälber entspricht, wie es E. C. BURNE (1943 S. 27 Tab.) nach lang-

jährigen Beobachtungen in Burma von 25 Geburten Indischer Elefanten mitteilen konnte: Auf 12 Kälber männlichen entfallen 13 weiblichen Geschlechts. Des weiteren mag darauf hingewiesen sein, daß beim Indischen Elefanten beide Geschlechter ein unterschiedliches Wachstum zeigen und dadurch beim Heranwachsen mehr und mehr in zwei Größengruppen geschieden werden.

	Zuwachsrate	
Elephas maximus	3	\$
310 Jahre	85 mm	66 mm
11—17 Jahre	51 mm	40 mm

(S. S. FLOWER 1943 S. 25)

Inwieweit sich allerdings dieses unterschiedliche Ansteigen der Körpergröße männlicher und weiblicher Tiere auf die Abmessungen ihrer Backenzähne auswirkt, ist unbekannt, und folglich bleibt der Fossilbefund in seiner Deutung fraglich. Dies gilt ebenso für die neuerlichen Ausführungen R. MUSILs (1958 S. 107—110), der anläßlich einer Revision der ausnehmend reichen Mammutfunde von Předmost auf die dimensionelle Zweiteilung der Gebißreste besonders hinweist und die mit der Zahnfolge wechselnden Anteile beider Größengruppen auszuwerten sucht: Ein Abändern des Geschlechterverhältnisses durch erhöhten Ausfall junger Kühe soll zur Geburtenminderung und letzthin zum Aussterben des Mammuts geführt haben. Es ist dies eine Mutmaßung, die erst nach Vorlage der angekündigten ausführlichen Veröffentlichung diskutiert werden kann.

## V. Zeitstellung

Die in der Teufelslucken geborgenen Elefantenreste können zwar mit Bestimmtheit einer jungpleistozänen Mammutform zugeordnet werden, einen genaueren Zeitansatz — gegründet auf die Entwicklungshöhe des Backenzahngebisses — läßt das wenig umfängliche Fundgut jedoch nicht zu. Dennoch darf die Frage nach der Lebenszeit dieser Mammute gestellt werden, da die vorangehende Auswertung ihrer Überbleibsel nahelegt, eine Antwort zu suchen und zu geben.

Ausgangspunkt mag die Feststellung sein, daß der eiszeitliche Mensch es war, der die Mammute im Eggenburger Umland gejagt und erlegt und gleichsam als Zeichen und Zeugen einstigen Jagderfolgs deren Backenzähne in der Teufelslucken verwahrt hat; denn es ist gewiß kein Zufall, daß hier wie in zahlreichen Höhlenstationen vornehmlich die Gebißreste dieses ob seiner Größe begehrten, ob seiner Kraft gefürchteten Wildes angereichert waren. Schon W. SOERGEL (1912 S. 14) hat auf diese Tatsache aufmerksam gemacht und eine Erklärung gesucht, die vor allem durch die späteren reichen Funde im Vogelherd bei Stetten ob Lontal eine gewisse Bestätigung erfahren hat.

Doch welche Jäger waren es, die dereinst das Mammut zur Strecke brachten? Hinweis können allein die in der Teufelslucken ergrabenen Geräte geben, welche nach J. BAYER (1927 S. 104—107) eine zweimalige Anwesenheit des eiszeitlichen Menschen bezeugen: Eine späte zur Zeit des Magdalénien und eine ungleich ältere, deren zunächst ungewisse Spuren erst F. BRANDTNER u. F. ZABUSCH (1950 S. 89—95) nach neuen Funden ins Moustérien zu stellen vermochten. Zugleich glaubte J. BAYER (1927 S. 105, 106, 107), für das Magdalénien eine angeblich hocharktische Kleinsäuger-Fauna benennen zu dürfen; das nun als Moustérien erwiesene fragliche Solutréen sollte dagegen faunistisch durch Mammut und Fellnashorn gekennzeichnet sein, eine Behauptung, die von F. BRANDTNER u. F. ZABUSCH (1950 S. 93—94) übernommen, den Neandertaler als Mammutjäger der Teufels-

lucken erscheinen läßt. Diese Aussage wird jedoch frag würdig durch das Ergebnis der kritischen Fundübersicht O. SICKENBERGS (1933 S. [31]—[38]), der, auf die stratigraphische Einheit der eiszeitlichen Fauna hinweisend, deren vorgenannte Zweiteilung nicht bestätigen konnte.

Dennoch dürfen die Mammutreste aus der Teufelslucken auch fernerhin mit dem dortigen Moustérien verbunden werden, sind sie doch — wie dargelegt — als mehr oder minder zeitgleich zu bewerten und folglich in ihrer Gesamtheit zu häufig, um dem Magdalénien anzugehören: Zu jener Zeit hat das Mammut seine einstige Bedeutung als Jagdwild eingebüßt, und für die Teufelslucken muß dasselbe gelten wie für die Stationen des ausgehenden Jungpaläolithikums im benachbarten mährischen Raum, in denen Mammutbelege spärlich und selten werden.

Magdalénien-Station		Mammut-Vorkommen
Adlerova jeskyně	Adler-Höhle	_
Balcarova skála	Balcar-Höhle	+
Hadi jeskyně	Hadi-Höhle	
Kolibky	Kolibky-Höhlen	+
Kulna	Kůlna-Höhle	+
Nová Drátenická	Neue Drahtbinder-Höl	hle —
Ochozská jeskyně	Ochoz-Höhle	_
Pekárna	Backofen-Höhle	+
Průchodice	Průchodice-Höhle	_
Šipka	Šipka-Höhle	_
Verunčina jeskyně	Veronika-Höhle	_
Žitného jeskyně	Žitný-Höhle	

(R. MUSIL 1957 S. 24—25; 1958 S. 63—67; 1961 S. 62—66)

Zwangsweise wird so der Träger der älteren in der Teufelslucken erwiesenen Kultur, der Neandertaler, zum Mammutjäger; denn es geht nicht an, mit U. LEHMANN (1949 S. 247) die Fauna zeitlich einer in der Höhle nicht vertretenen Kultur, der des Aurignacien, gleichsetzen zu wollen, wenn auch inzwischen einige Steingeräte dieses Typs durch F. BRANDTNER u. F. ZABUSCH (1950 S. 95) auf der Hochfläche des Königsberges festgestellt wurden.

#### VI. Zusammenfassung

Die aus wenigen Einzelknochen sowie einer größeren Anzahl von Gebißresten bestehende Dokumentation des Mammuts aus der Teufelslucken wird entsprechend der unterschiedlichen Bedeutung und Erhaltung der einzelnen Belege mehr oder minder ausführlich beschrieben. An der Zugehörigkeit dieser Reste zu Elephas (Mammonteus) primigenius BLUMENBACH kann kein Zweifel bestehen und auch nicht daran, daß hier eine progressive, jungpleistozäne Form vorliegt.

Mehr kann aus der Morphologie der Backenzähne nicht erschlossen werden. Dennoch ist die Möglichkeit einer genauen Zeitbestimmung gegeben, erlaubt doch Lagerung und Häufigkeit der ergrabenen Reste sowie Lebensalter und Wuchsform der bezeugten Tiere, die Mammute der Teufelslucken als einstige Beute des eiszeitlichen Jägers zu betrachten und derart dem durch etliche Steingeräte des Moustérien erwiesenen Neandertaler des Früh-Würm-Glazials gleichzusetzen.

#### VII. Schrifttum

- ADAM, K. D.: Das Backzahngebiß des Elephas antiquus FALCONER von der unteren Murr (Württemberg). Ein Beitrag zur Kenntnis der diluvialen Waldelefanten Mitteleuropas. — Diss. techn. Hochsch. Stuttgart 1948.
- BAYER, J.: Die Teufelslucken bei Eggenburg in Niederösterreich, eine Station des Eiszeitmenschen. Die Éiszeit, Bd. 4, Leipzig 1927.
- BERCKHEMÉR, F. 1933—1935 in F. BERCKHEMER u. E. PETERS 1933—1935.
- BERCKHEMER, F. u. PETERS, E.: Die Irpfelhöhle bei Giengen an der Brenz. Fundber. aus Schwaben, N. F. Bd. 8, Stuttgart 1933-1935.
- BRANDTNEK, F. u. ZABUSCH, F.: Neuere Paläolithfunde aus der Umgebung von Eggenburg, N.-Ö. Archaeologia Austriaca, H. 5, Wien 1950.
- BURNE, E. C.: A Record of Gestation Periods and Growth of trained Indian Elephant Calves in the Southern Shan States, Burma. — Proc. zool. Soc. London, Ser. A, Bd. 113, London 1943.
- DIETRICH, W. O.: Elephas primigenius Fraasi, eine schwäbische Mammutrasse. Jh. Ver. vaterl. Naturk. Württemberg, Jg. 68, Stuttgart 1912. EHRENBERG, K. 1940 in K. EHRENBERG u. S. KERNERKNECHT 1940.
- EHRENBERG, K., SICKENBERG, O. u. STIFFT-GOTTLIEB, A.: Die Fuchs- oder Teufelslucken bei
- Eggenburg, Niederdonau. I. Teil. Abh. 2001.-bot. Ges. Wien, Bd. 17, H. 1, Wien 1938. EHRENBERG, K. u. KERNERKNECHT, S.: Die Fuchs- oder Teufelslucken bei Eggenburg, Niederdonau. II. Teil. Abh. 2001.-bot. Ges. Wien, Bd. 17, H. 2, Wien 1940.
- FELIX, J.: Das Mammuth von Borna. Leipzig 1912.
- FLOWER, S. S.: Notes on Age at Sexual Maturity, Gestation Period and Growth of the Indian Elephant, Elephas maximus. — Proc. zool. Soc. London, Ser. A, Bd. 113, London 1943.
- GUENTHER, E. W.: Die Untersuchung der paläolithischen Freilandstation von Salzgitter-Lebenstedt. 7. Die bei der Grabung in Salzgitter-Lebenstedt geborgenen Backenzähne von Elefanten. — Eiszeitalter u. Gegenwart, Bd. 3, Öhringen 1953.
- HAUSER, O.: La Micoque. Die Kultur einer neuen Diluvialrasse. Leipzig 1916.
- Der Mensch vor 100000 Jahren. Leipzig 1917.
- Ins Paradies des Urmenschen. Fünfundzwanzig Jahre Vorweltforschung. Hamburg & Berlin 1920.
- Urmensch und Wilder. Eine Parallele aus Urwelttagen und Gegenwart. Berlin 1921.
- Die große zentraleuropäische Urrasse. La Micoque Ehringsdorf Byči skála Předmost Kišla Nedžimova. Ein Beitrag zur Entstehung der Weißen Rasse. — Weimar 1928.
- LEHMANN, U.: Der Ur im Diluvium Deutschlands und seine Verbteitung. N. Jb. Mineral, Geol. Paläontol., Abt. B, Abh. Bd. 90, Stuttgart 1949.
- MUSIL, R.: Fauna moravských magdalénských stanic. Die Fauna der mährischen Magdalénienstationen. Anthropozoikum, Bd. 7, Praha 1957.
- Funde von Wirbeltieren in Mähren (Tschechoslowakei) aus dem letzten Würm-Stadial. Eiszeitalter u. Gegenwart, Bd. 9, Öhringen 1958.
- Morfologická a metrická charakteristika předmosteckych mamutů. Die morphologische und metrische Charakteristik der Mammute von Předmosti. — Acta Musei Moraviae, Sci. natur. Bd. 43, Brno 1958.
- Magdalénská fauna Hadi jeskyně. Die Fauna des Magdalénien der Hadi Höhle. Acta Musei Moraviae, Sci. natur. Bd. 46, Brno 1961.
- PETERS, E. 1933—1935 in F. BERCKHEMER u. E. PETERS 1933—1935.
- RÜHL, W.: Die Raubtiere und Elefanten des sächsischen Diluviums. Palaeontographica, Abt. A, Bd. 91, Lfg. 1/2, Stuttgart 1939.
- SCHMIDT, R. R.: Die diluviale Vorzeit Deutschlands. Stuttgart 1912.
- SICKENBERG, O.: Die Säugetierfauna der Fuchs- oder Teufelslucken bei Eggenburg. Verh. zool.-bot. Ges. Wien, Bd. 83, Wien 1933.
- 1938 in K. EHRENBERG, O. SICKENBERG u. A. STIFFT-GOTTLIEB 1938.
- SOERGEL, W.: Das Aussterben diluvialer Säugetiere und die Jagd des diluvialen Menschen. Jena 1912. Elephas trogontherii Pohl. und Elephas antiquus Falc., ihre Stammesgeschichte und ihre Bedeutung für
- die Gliederung des deutschen Diluviums. Palaeontographica, Bd. 60, Lfg. 1/2, Stuttgart 1913.
- Die Jagd der Vorzeit. Jena 1922.
- TOEPFER, V.: Die Mammutfunde von Pfännerhall im Geiseltal. Halle 1957.



Fig. 1—9. Erste Milchbackenzähne von *Elephas (Mammonteus) primigenius* Blumenbach aus der Fuchsen- oder Teufelslucken bei Eggenburg (Niederösterreich). Vergleichsmaßstab 20 mm. Aufnahme von R. Bothner (Stuttgart).

Linke Reihe, von oben nach unten: Fig. 1—3. m1 mand. sin./1750 (Eggenburg). Mittlere Reihe, von oben nach unten: Fig. 4—6. m1 max. dex./1427 (Eggenburg). Rechte Reihe, von oben nach unten: Fig. 7—9. m1 max. dex./999 (Eggenburg).

Fig. 1, 4, 7. Akralfläche. Fig. 2, 5, 8. Labialseite. Fig. 3, 6, 9. Lingualseite. ©Akademie d. Wissenschaften Wien; download unter www.biologiezentrum.at

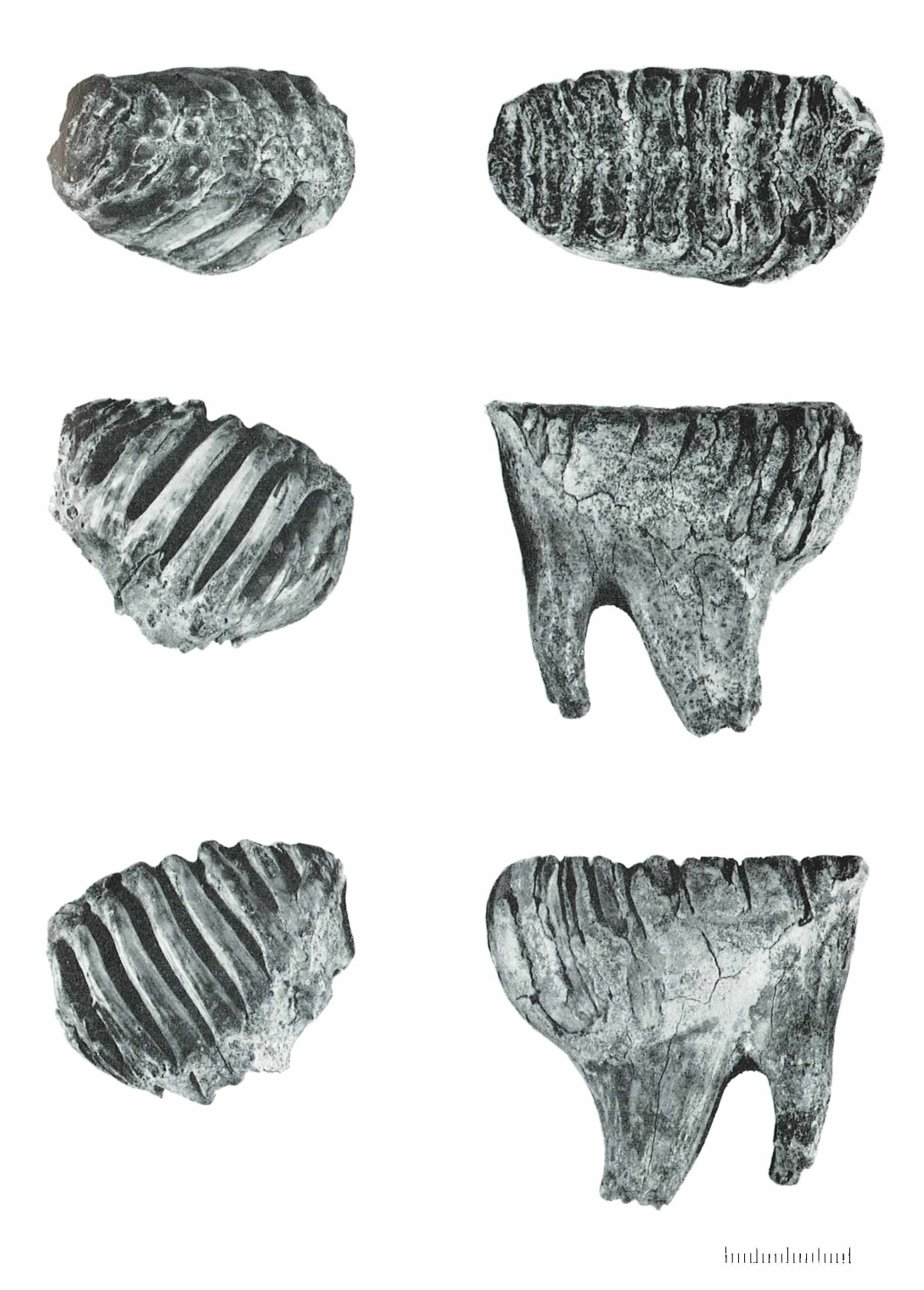


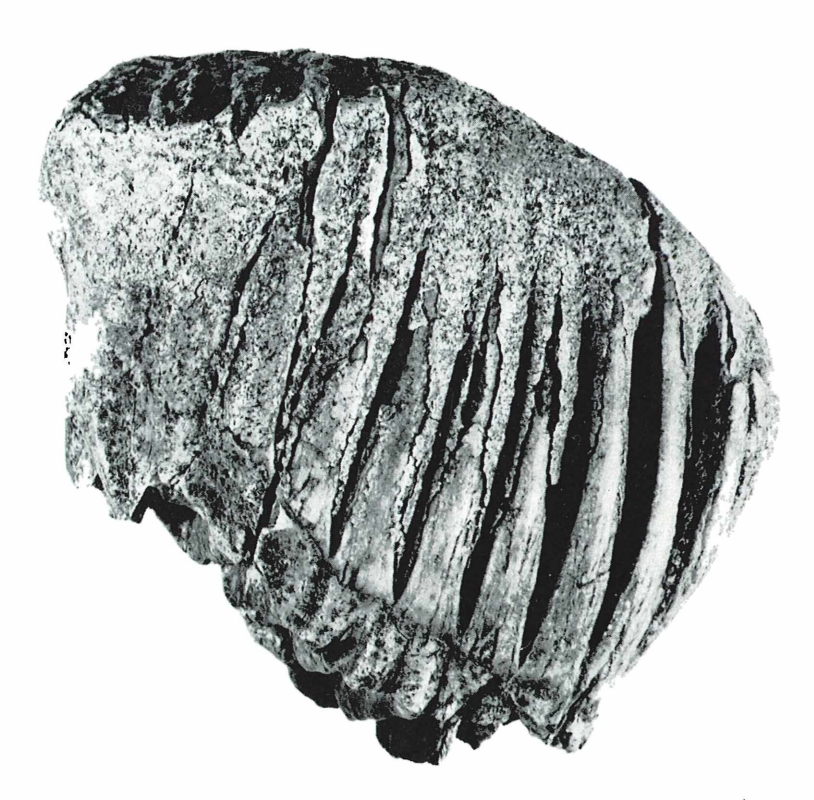
Fig. 1—6. Zweite Milchbackenzähne von *Elephas (Mammonteus) primigenius* Blumenbach aus der Fuchsenoder Teufelslucken bei Eggenburg (Niederösterreich). Vergleichsmaßstab 20 mm. Aufnahme von R. Bothner (Stuttgart).

Linke Reihe, von oben nach unten: Fig. 1—3. m2 max. dex./669 (Eggenburg). Rechte Reihe, von oben nach unten: Fig. 4—6. m2 mand. sin./o. Nr. (Horn).

Fig. 1, 4. Akralfläche. Fig. 2, 5. Labialseite. Fig. 3, 6. Lingualseite.

©Akademie d. Wissenschaften Wien: download unter www.biologiezentrum.at





haduuhadaad

Fig. 1—2. Dritter Milchbackenzahn von Elephas (Mammonteus) primigenius Blumenbach aus der Fuchsen-oder Teufelslucken bei Eggenburg (Niederösterreich). Vergleichsmaßstab 20 mm. Aufnahme von R. Bothner (Stuttgart).

m3 max. dex./2563 (Eggenburg).

Oben: Fig. 1. Akralfläche. Unten: Fig. 2. Labialseite. ©Akademie d. Wissenschaften Wien: download unter www.biologiezentrum.at





Fig. 1—2. Dritter oder letzter Backenzahn von *Elephas (Mammonteus) primigenius* Blumenbach aus der Fuchsen- oder Teufelslucken bei Eggenburg (Niederösterreich). Vergleichsmaßstab 20 mm. Aufnahme von R. Botiner (Stuttgart).

M 3 max. dex./1000 (Eggenburg).

Oben: Fig. 1. Akralfläche. Unten: Fig. 2. Labialseite.

# ZOBODAT - www.zobodat.at

Zoologisch-Botanische Datenbank/Zoological-Botanical Database

Digitale Literatur/Digital Literature

Zeitschrift/Journal: <u>Denkschriften der Akademie der</u>

Wissenschaften.Math.Natw.Kl. Frueher: Denkschr.der Kaiserlichen Akad. der

Wissenschaften. Fortgesetzt:

Denkschr.oest.Akad.Wiss.Mathem.Naturw.Klasse.

Jahr/Year: 1966

Band/Volume: 112

Autor(en)/Author(s): Adam Karl Dietrich

Artikel/Article: IV. Die Mammutreste. (Mit 1 Tabelle und Tafeln I-IV). 39-60